

mines PC 2009 - Rayon Vert.

- A21- $\omega_s = \frac{2\pi}{T_s} = \frac{360 \times 60}{24 \times 3600} = \frac{1}{4} \text{ s}^{-1} = \omega_s$

$$\frac{\theta_i}{\omega_s} = \frac{\widehat{s_0 s}}{\widehat{s s_c}} \Rightarrow \theta_i = \widehat{s_0 s_c} \cdot \frac{\widehat{s}}{\widehat{s_c}} \quad \text{d'après la figure b): } \frac{\widehat{s_0 s}}{\widehat{s s_c}} = \text{nu lat}$$

$$\bar{\theta}_i = \widehat{s_0 s_c} \cdot \text{nu lat} \quad \text{or: } \omega_s = -\frac{d \widehat{s_0 s_c}}{dt}$$

$$\Rightarrow \frac{d \bar{\theta}_i}{dt} = -\omega_s \text{ nu lat} \rightarrow \text{AN: } \frac{d \bar{\theta}_i}{dt} = -0,177 \text{ s}^{-1}$$

-22- $\bar{\theta}_i = g_a(\theta_o, \lambda) \Rightarrow \frac{d \bar{\theta}_i}{dt} = \left(\frac{\partial g_a}{\partial \theta_o} \right) \cdot \left(\frac{d \theta_o}{dt} \right)$

Ainsi: $\left(\frac{\partial \bar{\theta}_i}{dt} \right)_\lambda = \frac{d \bar{\theta}_i}{dt} \frac{1}{\left(\frac{\partial g_a}{\partial \theta_o} \right)}$

AN: $\left(\frac{\partial \theta_o}{dt} \right) = \frac{d \bar{\theta}_i}{dt} \frac{1}{-0,177}$

La vitesse est diminuée \Rightarrow l'atm. prolonge la durée du couché du soleil!

$$\frac{\partial \theta_o}{dt} = \frac{-0,177}{1,177} \text{ s}^{-1} = -0,15 \text{ s}^{-1} \Rightarrow 0,5^\circ = 30' : \text{ il faut donc}$$

$$\text{durée pour effectuer } 0,5^\circ: \tau = \frac{30'}{0,15} \approx 200 \text{ s (3m 20s)}$$

-23- *C'est le phénomène de dispersion.

* Dans le cas du phénomène, il est localisé à l'interface [c'est à dire à l'indice].
Ici, il est progressif (gradient d'indice).

* La diffusion des dipôles provenant de l'atm. apauvrit la lumière du soleil conduisant au violet et bleu (en particulier bleu) : on peut donc négliger les dipôles les plus courtes (elles ne sont plus présentes lors du soleil couchant).

-24- Le dernier rayon disparaît quand $\theta_o(\lambda_i) = 0$

$$\text{Ce qui donne, pour: } \lambda_o \Rightarrow \bar{\theta}_i' = -32,9' \quad \bar{\theta}_i' - \bar{\theta}_i = 0,222' = \Delta \theta_i \\ \text{pour: } \lambda_o \Rightarrow \bar{\theta}_i = -33,1'$$

$$\text{La durée qui sépare entre la disparition de ces deux rayons est: } \tau = \frac{\Delta \theta_i}{\left(\frac{d \theta_o}{dt} \right)} = 125 \text{ s}$$

lorsque $\theta_o(\lambda_i) \rightarrow \bar{\theta}_i = -32,9' \Rightarrow \theta_o(\lambda_i) = \frac{(-\lambda_o + 1) 1,58}{1,177} = 0,189' = \lambda_g$
[situation de la figure 8a]

D'après la figure, ces rayons sont les derniers à disparaître: Il y a donc un "instant" où on voit cette lumière verte sur un intervalle angulaire de 0,189'. C'est très inférieur à la résolution de l'œil humain: Il n'est donc pas possible de la voir en limitant l'échelle à cette explication!

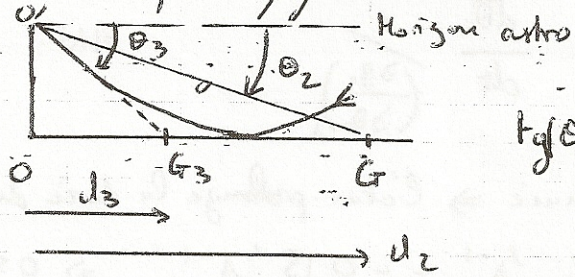
- 25- Dans le cas du rayon ($\bar{\Theta}_0 = -6'$), la trajectoire de celui-ci est similaire à celle d'un rayon qui se réfléchit à la surface de la Terre : c'est l'effet "mugé". [C'est l'angle de l'horizon apparent !]

On voit un triangle rectangle en G : $GO'^2 = d_2^2 = (R_T^* + H)^2 - R_T^2 = 2R_T H + H^2$
 $d_2 \approx \sqrt{2R_T H} = 8 \text{ km}$ $\simeq 2R_T H$
 (avec approx proportionnelle)

$|\Theta_2|$ retrouvé du triangle GCO' : $|\Theta_2| = \widehat{GCO'}$

$$\operatorname{tg} |\Theta_2| \approx |\Theta_2| = \frac{d_2}{R_T} = 1,25 \cdot 10^{-3} \text{ rad} = 4,3' \Rightarrow \underline{\Theta_2 = -4,3'}$$

L'horizon apparent est donné par les figures 9 et 10 : $\Theta_3 = \Theta_2$ (rayon réel) = $-6'$



$$\operatorname{tg} |\Theta_2| \approx \frac{H}{d_2} \quad \operatorname{tg} |\Theta_3| \approx \frac{H}{d_3}$$

$$d_3 = d_2 \cdot \frac{\Theta_2}{\Theta_3} = 5,7 \text{ km.}$$

N.B. L'abscisse calcul très approximatif ! Un calcul précis (intersection de la droite (O', centre + $\bar{\Theta}_3$) avec sphère terrestre $\rightarrow d_3 = 6,2 \text{ km}$)

- 26- D'après la 3^{me} image de la fig. 10, sur le plan : $\bar{\Theta} = -3'$ qui renverse l'image (plan de symétrie).

La dispersion d'une longueur d'onde de fait jaune. $\bar{\Theta}(\lambda) = -3'$ (le rayon provient du plan de symétrie).

La dispersion de λ_0 se fait donc quand $\bar{\Theta}_i = \bar{\Theta}_i(A') = \bar{\Theta}_i(A) = \bar{\Theta}_i(A_2)$.

La dispersion de λ_0 se fait quand $\bar{\Theta}_i = \bar{\Theta}_i(B) = \bar{\Theta}_i(A') - 0,31'$

L'angle Θ_i a donc une valeur de $-0,31'$ entre les 2 dispersions.

$$\text{Comme } \frac{d\Theta_i}{dt} = -0,177' \text{ s}^{-1} \quad \bar{\tau}_i = \frac{-0,31}{-0,177} = 1,75 \text{ s}$$

C'est à peu près le temps que ce qu'on a trouvé avec le 1^{er} modèle ...

Cependant, l'observateur "voit" ce rayon sortir sous un angle A, A_2 (instant du départ d'apparition du rayon sur la figure 11-a) de $2,1' > 10'$ (limite de résolution de l'œil humain) : ce rayon sera donc perceptible tant que le diamètre apparent (A, A_2) sera supérieur à $1'..$ donc

à peu près pendant une durée de l'ordre de $\bar{\tau}_i/2$... Il ne faut pas le rater !

$[\bar{\tau}_i]$: durée séparant les instants où le δ apparent passe de $2,1'$ à 0].